

КРАТКИЕ СООБЩЕНИЯ

УДК 548.736

КРИСТАЛЛИЧЕСКАЯ СТРУКТУРА $[\text{CoEn}_3]_2(\text{W}_7\text{O}_{24}) \cdot 6\text{H}_2\text{O}$ Н. В. Куратьева^{1,2}, И. О. Терёшкин^{1,2}, С. П. Храненко¹,
С. А. Громилов^{1,2}¹Институт неорганической химии им. А.В. Николаева СО РАН, Новосибирск

E-mail: grom@niic.nsc.ru

²Новосибирский государственный университет, Научно-образовательный комплекс "Наносистемы и современные материалы", Новосибирск

Статья поступила 10 августа 2012 г.

Методом рентгеноструктурного анализа определена кристаллическая структура комплексной соли $[\text{CoEn}_3]_2(\text{W}_7\text{O}_{24}) \cdot 6\text{H}_2\text{O}$. Проведен рентгенофазовый анализ продукта термического разложения соли в атмосфере гелия.

Ключевые слова: вольфрам, кобальт, комплексная соль, карбиды, кристаллохимия, рентгеноструктурный анализ, термические свойства.

Двойные комплексные соли являются перспективными предшественниками биметаллических порошков. Так, в работах [1, 2] для кумулятивного нанесения сверхтвердых покрытий были использованы комплексные соли, содержащие W и Co — $[\text{Co}(\text{NH}_3)_5\text{Cl}]\text{WO}_4$, $[\text{Co}(\text{NH}_3)_6](\text{WO}_4)\text{NO}_3$ и $[\text{CoEn}_3]_2(\text{W}_7\text{O}_{24}) \cdot n\text{H}_2\text{O}$. Кристаллическая структура и термические свойства $[\text{Co}(\text{NH}_3)_5\text{Cl}]\text{WO}_4$ и $[\text{Co}(\text{NH}_3)_6](\text{WO}_4)\text{Cl}$ были описаны в [3] и [4] соответственно, показано, что они могут быть использованы для получения как металлических, так и оксидных фаз, содержащих кобальт и вольфрам. Цель настоящей работы — определение структуры $[\text{CoEn}_3]_2(\text{W}_7\text{O}_{24}) \cdot n\text{H}_2\text{O}$. В [1] по данным термогравиметрических измерений была проведена оценка $n \approx 5-6$. Показано, что при разложении соли в атмосфере гелия образуется смесь CoWO_4 и WO_3 , а в атмосфере водорода — вольфрам (~90 вес.%) и двойные карбиды $\text{Co}_6\text{W}_6\text{C}$ и $\text{Co}_2\text{W}_4\text{C}$ (см. таблицу). Представлялось интересным подобрать условия для получения предпочтительно карбидных фаз W и Co, так как они обладают рядом уникальных свойств [5].

Экспериментальная часть. Комплексную соль (далее КС) $[\text{CoEn}_3]_2(\text{W}_7\text{O}_{24}) \cdot 6\text{H}_2\text{O}$ получали осаждением $[\text{CoEn}_3]\text{Cl}_3$ свежеприготовленным водным 0,1 М раствором гептавольфрамата натрия (получен по методике [6]) в мольном отношении реагентов 2:1. Образующийся в момент сливания осадок выдерживали в контакте с раствором сутки. Выделившуюся мелкокристаллическую фазу отфильтровывали, промывали водой до отрицательной реакции на СГ и высушивали на воздухе до постоянного веса. Выход продукта 96—98 %.

Рентгеноструктурный анализ монокристалла $[\text{CoEn}_3]_2(\text{W}_7\text{O}_{24}) \cdot 6\text{H}_2\text{O}$ с размерами $0,02 \times 0,02 \times 0,01$ мм проведен на автоматическом дифрактометре Bruker X8 APEX (MoK $_{\alpha}$ -излучение, графитовый монохроматор, область углов θ от 2,71 до 26,38°, 16969 экспериментальных и 4836 независимых отражений, $R_{\text{инт}} = 0,062$) при $T = 293(2)$ К. Получены следующие кристаллографические данные: $a = 18,5035(9)$, $b = 15,0543(9)$, $c = 17,2059(11)$ Å, $\beta = 98,675(2)^\circ$, $V = 4738,0(5)$ Å³, пр. гр. $C2/c$, $Z = 4$, $d_x = 3,165$ г/см³. Структура решена прямым методом и уточнена в анизотропном (изотропном — для атомов водорода) приближении. Атомы водорода,

Результаты РФА продуктов термического разложения

Условия	Характеристика	W	Co ₆ W ₆ C	Co ₂ W ₄ C	WC	W ₂ C
КС, Н ₂ , 800 °С [1]	Количество, %	89	7	4	—	—
	<i>a</i> , Å	3,156	10,897	11,222	—	—
КС+С, He, 800 °С	Количество, %	2*	5	72	13	6
	<i>a</i> , <i>c</i> , Å	3,162	10,901	11,222	2,903	5,216
Литературные данные [8]	<i>a</i> , <i>c</i> , Å	3,165	10,898	11,210	2,9063	5,190
					2,8375	4,724
	Пр. гр.	<i>Im-3m</i>	<i>Fd-3m</i>	<i>Fd-3m</i>	<i>P-6m2</i>	<i>P-31m</i>
	№ PDF	4-806	22-597	6-661	51-939	79-743

* В образце, возможно, присутствует Co₃W₃C [8, N 27-1125] на уровне 2 %.

принадлежащие En, локализованы экспериментально, а принадлежащие молекулам воды не определены. Установлено, что на формульную единицу приходится 6 молекул кристаллизационной воды. При окончательном полноматричном уточнении 290 структурных параметров значения факторов расхожимости составили: $R_1 = 0,0649$, $wR_2 = 0,0637$, для 3447 отражений с $I \geq 2\sigma(I)$ $R_1 = 0,0337$, $wR_2 = 0,0620$, *S*-фактор по F^2 — 0,978. Все расчеты выполнены по комплексу программ SHELX-97 [7]. Координаты и тепловые параметры атомов депонированы в Кембриджский банк структурных данных CCDC [8] под номером 896092 и могут быть получены по адресу www.ccdc.cam.ac.uk/data_request/cif.

Рентгенодифрактометрическое исследование поликристаллов проведено на дифрактометре ARL X'TRA (CuK_α-излучение, геометрия Брэгга—Брентано, полупроводниковый детектор, комнатная температура). В качестве внешнего стандарта был использован поликристаллический кремний ($a = 5,43075(5)$ Å). Дифрактограмма полностью проиндексирована по данным исследования монокристалла, отобранного из общей массы продукта. Рентгенофазовый анализ (РФА) продукта термолиты смеси КС и активированного угля (соотношение 1:1 вес., атмосфера He, 800 °С) проведен с использованием базы данных PDF-2 [9]. Полнопрофильное уточнение проведено по программе PCW [10] с использованием кристаллоструктурной информации [11, 12], результаты представлены на рис. 1 и в таблице.

Результаты и их обсуждение. Кристаллическая структура КС построена из комплексных катионов [CoEn₃]³⁺, гептавольфрамат-анионов (W₇O₂₄)⁶⁻ и молекул кристаллизационной воды.

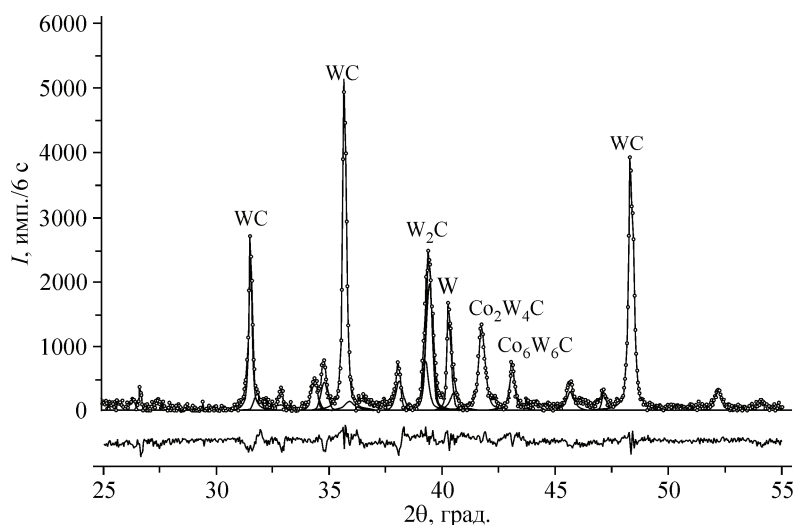


Рис. 1. Дифрактограмма продукта термолиты смеси [CoEn₃]₂ × (W₇O₂₄) · 6H₂O и активированного угля.

Помечены наиболее интенсивные отражения обнаруженных фаз. Внизу дана разностная кривая

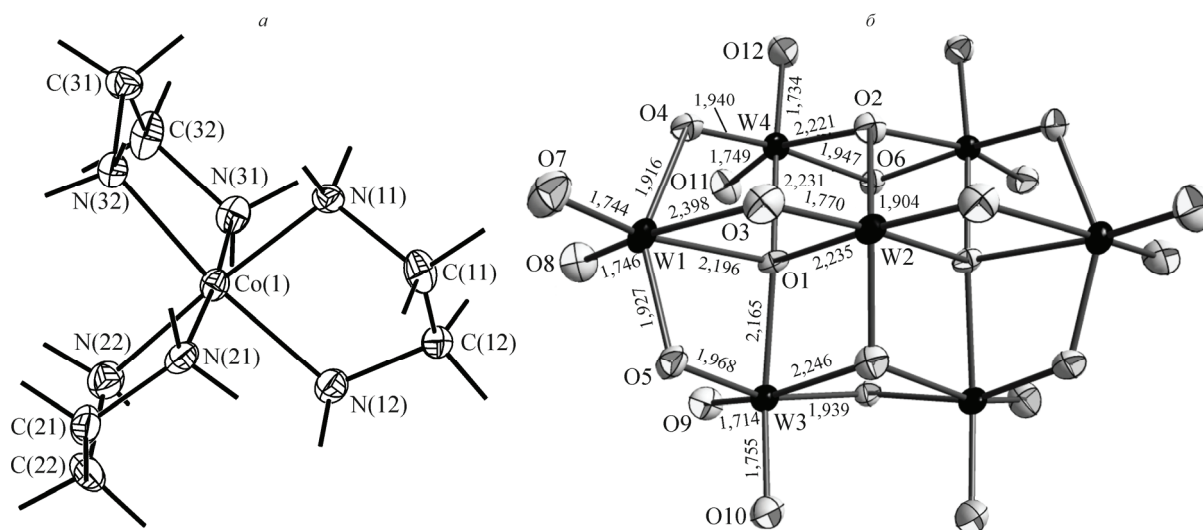


Рис. 2. Строение комплексного катиона $[\text{CoEn}_3]^{3+}$ (а) и гептавольфрамат-аниона (б)

Соотношение зарядов ионов задает соотношение металлов $\text{Co}:\text{W} = 2:7$. На рис. 2 показана нумерация атомов и эллипсоиды их тепловых колебаний. Основные геометрические характеристики комплексного катиона $[\text{CoEn}_3]^{3+}$ лежат в следующих интервалах: $\text{Co}-\text{N}$ 1,963—1,994, $\text{N}-\text{C}$ 1,489—1,528, $\text{C}-\text{C}$ 1,498—1,565 Å, $\angle\text{N}-\text{Co}-\text{N}$ 86,5—92,4°. Они не отличаются от известных в литературе, например в структуре $[\text{CoEn}_3](\text{ReO}_4)_3$ [13]. В гептавольфрамат-анионе расстояния $\text{W}-\text{O}$ лежат в широком интервале 1,713—2,339 Å, в целом его геометрия совпадает с описанной для $(\text{C}_5\text{H}_{12}\text{N})_6(\text{W}_7\text{O}_{24})$ [12, P1HWO].

Исходя из того что катионы гораздо легче гептавольфрамат-анионов, при поиске мотива построения структуры по методике [14] мы ориентировались на поиск взаимного расположения только анионов. Для этого была вычислена дифрактограмма только по атомам W. Такой подход был использован в ряде подобных случаев в работах [15, 16]. Наиболее симметричная подрешетка была выбрана с помощью программы [17], она образована пересечением семейств плоскостей $\{-1 -1 -1\}$, $\{1 -1 1\}$, $\{2 0 0\}$. Подрешетка построена на векторах: $\mathbf{a}_T = -\mathbf{b}/2 - \mathbf{c}/2$, $\mathbf{b}_T = -\mathbf{b}/2 + \mathbf{c}/2$, $\mathbf{c}_T = \mathbf{a}/2 + \mathbf{b}/2$, а ее метрики: $a_T = b_T = 11,43$, $c_T = 11,93$ Å, $\alpha_T = 120,2$, $\beta_T = 109,1$, $\gamma_T = 97,6^\circ$. Примерное равенство линейных параметров и близость среднего значения углов к $109,5^\circ$ позволяют перейти к рассмотрению подрешетки как искаженной объемно-центрированной с параметрами $a_T = 11,64$, $b_T = 13,55$, $c_T = 15,05$ Å, $\alpha_T = \beta_T = 90$, $\gamma_T = 85,8^\circ$. Узлам такой подрешетки соответствуют центры тяжести гептавольфрамат-анионов. Различия в параметрах подъячейки соответствуют размерам гептавольфрамат-аниона в разных направлениях. На рис. 3 показано реальное расположение фрагментов структуры в направлении оси x .

Рассматривая взаимное расположение гептавольфрамат-анионов в структуре $(\text{C}_5\text{H}_{12}\text{N})_6(\text{W}_7\text{O}_{24})$ [12, P1HWO], также можно выделить примитивную псевдоромбоэдрическую подрешетку с параметрами $a_T = b_T = 12,33$, $c_T = 12,49$ Å, $\alpha_T = \beta_T = 106,4$, $\gamma_T = 115,3^\circ$. При переходе к объемно-центрированной получаем $a_T = b_T = 14,9$, $c_T = 13,2$ Å, $\alpha_T = \beta_T = 90$, $\gamma_T = 88,9^\circ$.

В работе [1] были изучены процессы термического разложения $[\text{CoEn}_3]_2(\text{W}_7\text{O}_{24}) \cdot 6\text{H}_2\text{O}$ в различных атмосферах и показано, что в атмосфере водорода образуется в основном W (~90 вес.%) и карбидные фазы $\text{Co}_6\text{W}_6\text{C}$, $\text{Co}_2\text{W}_4\text{C}$. Подмешивание к КС активированного угля привело к существенному увеличению количества карбидных фаз (см. таблицу). К указанным выше двойным карбидам добавились WC и W_2C , а доля W снизилась до 2%. Содержание основной фазы — двойного карбида $\text{Co}_2\text{W}_4\text{C}$ — составляет 72%. С большой вероятностью в образце фиксируются следы еще одного двойного карбида $\text{Co}_3\text{W}_3\text{C}$ [8, N 27-1125], но из-за большого перекрытия пиков уточнение его ПЭЯ не представляется возможным.

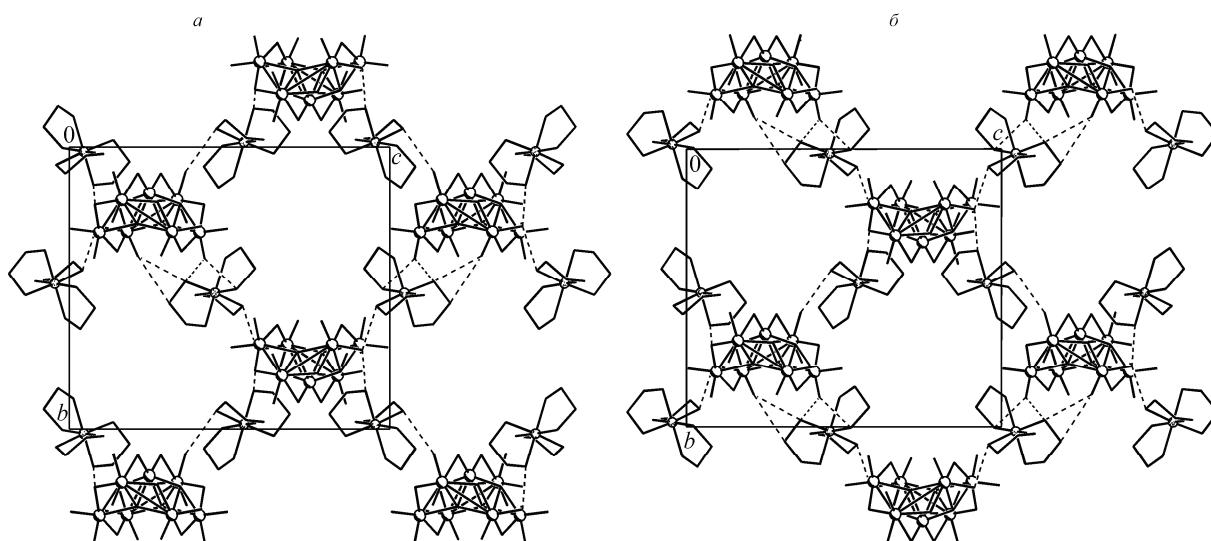


Рис. 3. Вид кристаллической структуры $[\text{CoEn}_3]_2(\text{W}_7\text{O}_{24}) \cdot 6\text{H}_2\text{O}$ в направлении оси x : $x = 0$ (а), $x = 0,5$ (б). Молекулы кристаллизационной воды располагаются в пустотах (для ясности рисунка они не показаны)

Авторы выражают благодарность к.х.н. П.Е. Плюснину за проведение термического эксперимента.

СПИСОК ЛИТЕРАТУРЫ

1. Громилов С.А., Храненко С.П., Семитут Е.Ю., Киреев И.Б. // Физика горения и взрыва. – 2013. – **49**, № 2. – С. 127 – 132.
2. Громилов С.А., Храненко С.П., Кинеловский С.П. и др. // Докл. IV Всерос. конф. "Взаимодействие высококонцентрированных потоков энергии с материалами в перспективных технологиях и медицине". – Новосибирск: Нонпарель, 2011. – С. 55 – 59.
3. Шушарина Е.А., Храненко С.П., Плюснин П.Е., Кардаш Т.Ю., Громилов С.А. // Журн. структур. химии. – 2011. – **52**, № 5. – С. 934 – 939.
4. Храненко С.П., Алексеев А.В., Наумов Д.Ю., Плюснин П.Е. // Журн. структур. химии. – 2012. – **53**, № 4. – С. 758 – 762.
5. Самсонов Г.В., Упадхя Г.Ш., Нешпор В.С. Физическое материаловедение карбидов. – Киев: Наукова думка, 1974.
6. Бурцева К.Г., Кочубей Л.А., Воронанова Л.А., Горбаткова Б.Х. // Журн. неорган. химии. – 1981. – **26**, № 8. – С. 2121 – 2123.
7. Sheldrick G.M. // Acta Crystallogr. – 2008. – **A64**, N 1. – P. 112 – 122.
8. Allen F.H. // Acta Crystallogr. – 2002. – **B58**, N 3-1. – P. 380 – 388.
9. Powder Diffraction File. PDF-2/Release 2009. // International Centre for Diffraction Data. – USA, 2009.
10. Kraus W., Nolze G. // J. Appl. Crystallogr. – 1996. – **29**. – P. 301 – 303.
11. Ramnath V., Jaraman N. // J. Mater. Sci. Lett. – 1987. – **6**. – P. 1414 – 1418.
12. Inorganic Crystal Structure Database, ICSD, Release 2011, Fachinformationszentrum Karlsruhe, D-1754 Eggenstein—Leopoldshafen, Germany, 2011.
13. Байдина И.А., Филатов Е.Ю., Макотченко Е.В., Смоленцев А.И. // Журн. структур. химии. – 2012. – **53**, № 1. – С. 117 – 123.
14. Борисов С.В. // Журн. структур. химии. – 1986. – **27**, № 3. – С. 164 – 167.
15. Громилов С.А., Борисов С.В. // Журн. структур. химии. – 2003. – **44**, № 4. – С. 724 – 742.
16. Быкова Е.А., Храненко С.П., Громилов С.А. // Журн. структур. химии. – 2012. – **53**, № 1. – С. 186 – 190.
17. Громилов С.А., Быкова Е.А., Борисов С.В. // Кристаллография. – 2011. – **56**, № 6. – С. 1013 – 1018.